

## چکیده

عدم رضایت در کنترل اینمنی و پایابی سازه‌های طراحی شده به روش‌های متداول، دلیل گرایش محققین به روش‌های طراحی بر اساس عملکرد است. طراحی مستقیم مبتنی بر تغییر مکان<sup>۱</sup> یکی از محبوب‌ترین این روش‌هاست. تحقیقات گذشته در بررسی شاخص‌های کلی سازه‌ها تا حد زیادی کارایی این روش را تأیید می‌کنند. لیکن بررسی جامع‌تر آن مستلزم برآورد خسارت‌های مان‌ها و وارد شدن به حیطه ارزیابی‌های احتمالاتی می‌باشد. هدف از این مطالعه بررسی روش طراحی مستقیم از چهار دیدگاه مختلف شامل تغییر مکان جانی نسبی، خسارت‌های موضعی، ارزیابی احتمالاتی و هزینه ساخت می‌باشد. به منظور بررسی پاسخ تغییر مکانی و خسارت‌های موضعی سازه‌ها از چهار قاب خمی مبتن آرمه با ارتفاع<sup>۲</sup> ۵ و<sup>۳</sup> ۷ و<sup>۴</sup> ۱۱ طبقه استفاده شده است. نتایج نشان‌دهنده‌ی تأمین سطح عملکرد انتخابی در خصوص پاسخ‌های تغییر مکانی و عدم تجاوز دوران مفاصل پلاستیک از سطح اینمنی جانی در روش طراحی مستقیم برخلاف روش نیرویی می‌باشند. نتایج ارزیابی احتمالاتی در پنج حالت خرابی در دو دسته از قاب‌ها نشان‌دهنده‌ی احتمال خرابی کمتر در روش طراحی مستقیم برخلاف روش نیرویی می‌باشد. ضمن اینکه تحلیل هزینه نشان‌دهنده‌ی افزایش آرماتور مصرفی بین ۳/۶ تا ۱۱/۵۲ درصد و افزایش بتن مصرفی تا ۲۴ درصد در روش طراحی مستقیم نسبت به روش نیرویی می‌باشد.

**واژگان کلیدی:** طراحی نیرویی، طراحی مستقیم مبتنی بر تغییر مکان، شاخص خسارت لرزه‌ای، خسارت‌های موضعی.

## ارزیابی جامع شاخص‌های خسارت قاب‌های خمی بتن‌آرمه در روش‌های طراحی لرزه‌ای متداول و نوین

### زهره جباری سلمی

دانش‌آموخته‌ی کارشناسی ارشد، گروه مهندسی عمران - زلزله، مؤسسه غیرانتفاعی دانشپژوهان پیشرو، اصفهان، ایران

### اسماعیل ایزدی زمان‌آبادی (نویسنده‌ی مسئول)

استادیار دانشکده مهندسی عمران، واحد نجف‌آباد، دانشگاه آزاد اسلامی، نجف‌آباد، ایران، e.izadi@pci.iaun.ac.ir

## ۱- مقدمه

### طراحی گردید [۱].

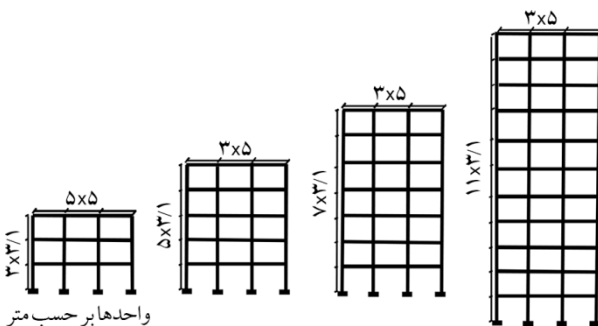
از میان روش‌های مختلف توسعه یافته، روش طراحی مستقیم مبتنی بر تغییر مکان (DDBD) به دلیل سادگی دستورالعمل، کارایی مطلوب و تحقق پاسخ لرزه‌ای قابل پیش‌بینی و قابل اعتماد، مورد توجه تعداد زیادی از محققین قرار گرفته است [۲]. اساس روش طراحی مستقیم مبتنی بر تغییر مکان، بر ایده سازه جایگزین ارائه شده توسط شبیاتا و سوزن [۳] در سال ۱۹۷۶ استوار است. در این روش، سازه چند درجه آزاد با یک سازه تک درجه آزاد معادل ارتجاعی، با خصوصیات سختی و میرایی معادل سازه غیر ارتجاعی، جایگزین می‌شود. سیستم یک درجه آزاد جایگزین شده، برای سختی سکانتی در پاسخ بیشینه با استفاده از طیف تغییر مکان طراحی ارتجاعی طراحی می‌گردد.

رویکرد روش‌های طراحی نیرویی عموماً بر اساس رفتار الاستیک سازه می‌باشد. در این روش بر شرایط توسط ضربی اصلاح نیرو کاهش می‌یابد، سپس تغییر مکان نسبی محاسبه شده از تحلیل الاستیک در یک ضرب افزایشی ضرب می‌شود و مقدار آن محدود به یک حد مجاز می‌شود. این بدان معناست که در روش‌های طراحی نیرویی، ساختمان‌های طراحی شده به روش الاستیک باید تغییر شکل‌های غیر الاستیک بزرگ را تحمل کنند. رفتار غیر الاستیک سازه می‌تواند به صورت ناگهانی و گسترده در سازه توزیع شود. این امر منجر به پاسخ‌های غیرقابل‌پیش‌بینی در سازه می‌شود [۱]. آشکار شدن محدودیت‌های دیگری نظری عدم قطعیت در مورد ظرفیت شکل پذیری سازه‌ها منجر به گسترش تحقیقات برای بهبود روش‌های متداول و توسعه روش‌های نوین

مکان (DBD09) پرداختند. این پیش‌نویس در سال ۲۰۱۲ توسط سالیوان و همکاران [۱۴] مورد تصحیح و بازنگری قرار گرفته است (DBD12). بر این اساس تعدادی قاب خمثی بتن آرمه با استفاده از ضوابط موجود در پیش‌نویس ۱۲ DBD12 طراحی می‌شوند. قاب‌ها با استفاده از روش نیرویی بر اساس ضوابط ویرایش چهارم استاندارد ۲۸۰۰ نیز طراحی شده و مورد ارزیابی قرار می‌گیرند.

## ۱-۲- معرفی مدل‌ها

در این مطالعه تعداد چهار قاب خمثی بتن آرمه با شکل پذیری متوسط، مطابق با شکل (۱) در نظر گرفته شده است. در این قاب‌ها تعداد طبقات ۳، ۵، ۷ و ۱۱ طبقه و تعداد دهانه‌ها سه دهانه می‌باشد. ارتفاع همه طبقات  $3/1$  متر و طول دهانه‌ها ۵ متر انتخاب شده است. بر اساس تقسیم‌بندی ویرایش چهارم استاندارد ۲۸۰۰ سازه‌ها در منطقه با خطر نسبی خیلی زیاد و خاک نوع III قرار دارند. مقاومت فشاری ۲۸ روزه بتن، ۴۰ مگاپا سکال و مقاومت کششی آرماتورهای طولی و عرضی به ترتیب برابر با ۴۰۰ و ۳۰۰ مگاپاسکال می‌باشد. بار مرده و زنده واحد طول طبقات به ترتیب برابر  $24/6$  و  $7/5$  کیلو نیوتن بر متر می‌باشد. در ادامه روند طراحی قاب‌های انتخابی با دو روش طراحی مستقیم مبتنی بر تغییر مکان و طراحی نیرویی شرح داده می‌شود.



شکل (۱): پارامترهای هندسی قاب‌های مدل‌سازی شده.

## ۲-۲- طراحی مدل‌های معروف شده به روش نیرویی

روند روش طراحی بر بنای نیرو، بر این اساس است که ابتدا مقاطع اعضا حدس زده می‌شوند و در پی آن سختی اعضا بر پایه

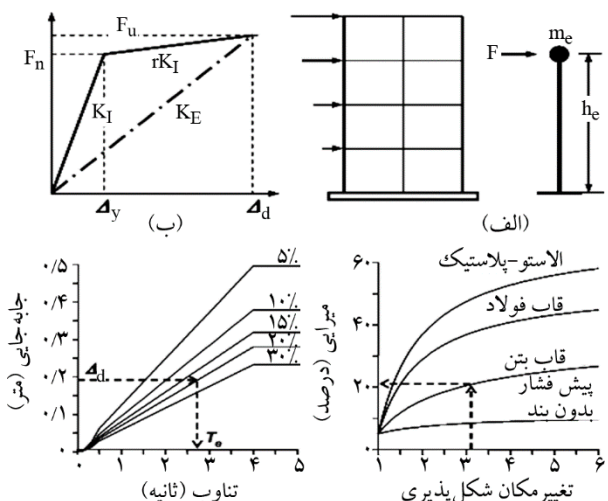
چوپرا و گوئل [۴] در سال ۱۹۹۹، با ارائه روشهای مبتنی بر سعی و خطای ظرفیت شکل پذیری و تغییر مکان غیر الاستیک سیستم را محاسبه نمودند. جودی و همکاران [۵] در سال ۲۰۰۱، پاسخ سازه‌ها با مدل‌های هیسترزیس مختلف را تحت طیف وسیع و متنوعی از زمین‌لرزه‌ها مورد بررسی قرار دادند و نشان دادند که استفاده از میرایی ویسکوز معادل در روش طراحی مستقیم مبتنی بر تغییر مکان دقت و کلیت روش را تقویت می‌کند. پتین گا و پریستلی [۶] در سال ۲۰۰۵، یک متداول‌وزیر منسجم برای بررسی رفتار دینامیکی قاب‌های بتن آرمه ارائه کردند. برای این منظور به اصلاح پروفیل تغییر مکان طراحی و توزیع نیروهای جانبی طبقات در قاب‌های بتنی پرداختند. نتایج بدست آمده از تحلیل این روش، سازگاری مناسبی را با گریزهای میان‌طبقه‌ای فرضی آینه نشان داد. تاکنون مطالعات زیادی در زمینه بررسی عملکرد روش طراحی مستقیم مبتنی بر تغییر مکان انجام شده است که از مهم‌ترین آنها می‌توان به مطالعات بیر در سال ۲۰۰۵ [۷]، سالیان و همکاران در سال ۲۰۰۶ [۸]، مسنا و همکاران در سال ۲۰۱۰ [۹]، نیواس و سالیان در سال ۲۰۱۴ [۱۰] و راویندر و سینگ در سال ۲۰۱۶ [۱۱] اشاره کرد. در اکثر مطالعات صورت گرفته به ارزیابی پاسخ‌های کلی سازه نظری پاسخ‌های تغییر مکانی و نیرویی پرداخته شده است. در پژوهش حاضر علاوه بر کنترل پاسخ‌های تغییر مکانی سازه، دیدگاه‌های جدیدتری نظری بررسی خسارت‌های موضعی المان‌ها و نحوه توزیع آنها در ارتفاع سازه مورد مطالعه قرار می‌گیرند. همچنین شاخص‌های خرابی سازه با استفاده از منحنی‌های شکنندگی از جنبه احتمالاتی مورد بررسی و تحلیل قرار می‌گیرند.

## ۲- مدل‌های مورد مطالعه و روند طراحی

در این پژوهش مبنای طراحی بر پایه مطالعات گروه تحقیقاتی ریلوئیس<sup>۲</sup> در فاصله سال‌های ۲۰۰۵ تا ۲۰۰۷ می‌باشد [۱۲]. در طی پژوهش‌های این گروه، کالوی و سالیان [۱۳] در سال ۲۰۰۹ به تهیه و انتشار پیش‌نویس یک دستورالعمل طراحی مبتنی بر تغییر

### ۳-۲- طراحی مدل‌های معرفی‌شده به روش طراحی مستقیم مبتنی بر تغییر مکان

دستورالعمل کلی روش طراحی مستقیم مبتنی بر تغییر مکان که در شکل (۲) نشان داده شده است، در سال ۲۰۰۰ توسط پریستلی و کوالاسکی [۱۵] ارائه گردید. در این روش سازه چند درجه آزاد با یک سیستم تک درجه آزاد معادل ارتیجاعی، جایگزین می‌گردد.



شکل (۲): دستورالعمل کلی روش طراحی مستقیم مبتنی بر تغییر مکان [۱۵].

در ابتدای فرآیند طراحی مستقیم مبتنی بر تغییر مکان، یک بروفیل تغییر مکان طراحی تحت شدت لرزه‌ای انتخابی توسط طراح در نظر گرفته می‌شود. این عمل به منظور شناسایی مشخصات سازه یک درجه آزاد معادل متناظر با اولین مود پاسخ غیر ارتیجاعی صورت می‌گیرد. سپس مطابق روابط (۱) تا (۵) به محاسبه پارامترهای سازه یک درجه آزاد معادل، نظر تغییر مکان طرح ( $\Delta_d$ )، ارتفاع مؤثر ( $H_e$ )، جرم مؤثر ( $m_e$ ) و محاسبه مقدار میرایی ویسکوز معادل ( $\zeta_{eq}$ ) پرداخته می‌شود [۱۶].

$$\Delta_d = \frac{\sum_{i=1}^n (m_i \Delta_i^2)}{\sum_{i=1}^n (m_i \Delta_i)} - \theta_N X_{CP-CM} \quad (1)$$

$$H_e = \frac{\sum_{i=1}^n (m_i \Delta_i h_i)}{\sum_{i=1}^n (m_i \Delta_i)} \quad (2)$$

حدس سختی اولیه به دست می‌آید [۱]. در گام بعد دوره تناوب سازه محاسبه می‌گردد. پس از آن نیروی برش پایه در قسمت‌های مختلف سازه توزیع می‌گردد و سازه تحت نیروهای لرزه‌ای تحلیل می‌شود. در نتیجه ظرفیت خمشی مفاصل پلاستیک به دست می‌آید و در مرحله آخر، تغییر مکان‌های ناشی از زلزله تعیین می‌گرددند و با مقادیر مجاز در آین نامه مقایسه می‌شوند. در این پژوهش برای طراحی به روش نیرویی از ضوابط موجود در ویرایش چهارم استاندارد ۲۸۰۰ استفاده شده است. برای این منظور ضوابطی نظری کنترل تغییر مکان جانبی نسبی طبقات، کنترل شاخص پایداری سازه‌ها و اعمال اثرات P-Δ رعایت شده است. همچنین به منظور اعمال اثر زلزله بر سازه‌ها از روش تحلیل استاتیکی معادل استفاده شده است. پارامترهای مورد نیاز طراحی و مشخصات مقاطع طراحی شده به ترتیب در جداول (۱) و (۲) ارائه شده است.

جدول (۱): پارامترهای مورد نیاز طراحی نیرویی.

طبقه ۱۱	طبقه ۷	طبقه ۵	طبقه ۳
۰/۱۱	۰/۱۴	۰/۱۸	۰/۱۹ C
۱/۵	۱/۲۵	۱/۱۲	۰/۹۸ K

جدول (۲): مشخصات مقاطع طراحی شده به روش نیرویی ۱ استاندارد ۲۸۰۰.

طبقه ۱۱		طبقه ۷		طبقه ۵		طبقه ۳		طبقه
ستون	تیر ( $h \times b$ )	ستون	تیر ( $h \times b$ )	ستون	تیر ( $h \times b$ )	ستون	تیر ( $h \times b$ )	
۳۵×۳۵	۳۵×۳۵							۱۱
۴۰×۴۰	۴۵×۴۰							۱۰
۴۵×۴۵	۵۰×۴۰							۹
۵۰×۵۰	۵۵×۴۰							۸
۵۰×۵۰	۵۵×۴۰	۴۰×۴۰	۳۵×۳۵					۷
۵۵×۵۵	۶۰×۴۰	۴۵×۴۵	۴۵×۴۰					۶
۵۵×۵۵	۶۰×۴۰	۵۰×۵۰	۵۰×۴۰	۴۰×۴۰	۳۵×۳۵			۵
۶۰×۶۰	۶۰×۴۰	۵۰×۵۰	۵۵×۴۰	۴۵×۴۵	۴۵×۴۰			۴
۶۰×۶۰	۶۰×۴۰	۵۵×۵۵	۵۵×۴۰	۴۵×۴۵	۴۵×۴۰	۳۵×۳۵	۳۵×۳۵	۳
۶۵×۶۵	۶۰×۴۰	۵۵×۵۵	۵۵×۴۰	۵۰×۵۰	۵۰×۴۰	۴۰×۴۰	۴۰×۳۵	۲
۶۵×۶۵	۶۰×۴۰	۶۰×۶۰	۵۵×۴۰	۵۰×۵۰	۵۰×۴۰	۴۵×۴۵	۴۰×۳۵	۱

تمام واحدها بر حسب سانتی‌متر است.

ویرایش سوم استاندارد ۲۸۰۰ تولید شده‌اند. این پژوهش نیازمند توسعه طیف تغییر مکان طراحی مطابق با ضوابط ویرایش چهارم استاندارد ۲۸۰۰ می‌باشد. بدین منظور از رابطه (۸) برای توسعه طیف تغییر مکان طراحی در میرایی‌های بالاتر استفاده شده است.

$$A_{r,\xi} = A_{r,5} \left[ \frac{9.5}{5+\xi} \right]^{0.5} \quad (8)$$

که در آن  $A_r$  تغییر مکان برای میرایی ۵ درصد در پریود  $T$  و  $\xi$  میرایی ویسکوز معادل در سازه مورد نظر می‌باشد. پارامترهای مربوط به سیستم تک درجه آزاد معادل قاب‌ها در جدول (۳) آورده شده است. پس از محاسبه نیروی جانبی طبقات تحلیل بر اساس معادلات تعادل انجام شده است و پس از محاسبه تلاش‌های داخلی در انتهای تیرها، طراحی بر مبنای ظرفیت در دستور کار قرار گرفته است. جدول (۴) مقاطع طراحی شده به روش طراحی مستقیم را نشان می‌دهد.

در آرماتورگذاری مقاطع اثر محبوس شدگی بتن لحاظ شده است و آرماتورگذاری مقاطع با استفاده از تحلیل‌های لنگر انحنا تو سط کدهای کامبیا<sup>۳</sup> (CUMBIA)، در محیط نرم‌افزار Matlab انجام شده است [۱۷].

### ۳- مدل‌سازی و صحت‌سنگی

ارزیابی عملکرد سازه‌های طراحی شده، توسط تحلیل‌های تاریخ‌چه زمانی غیرخطی در نرم‌افزار Perform گرفته است. برای مدل کردن رفتار غیرخطی تیرها از مدل مفصل خمیری استفاده شده است. برای این منظور ابتدا مقاطع همه تیرها در نرم‌افزار Sap با استفاده از Section designer ساخته شده‌اند. سپس منحنی تنش-کرنش مصالح و نیز منحنی لنگر انحنا مقاطع برداشته می‌شود. سپس منحنی‌های استخراج شده با منحنی‌های

$$m_e = \frac{\sum_{i=1}^n (m_i A_i)}{A_d} \quad (3)$$

$$\xi_{eq} = 0.05 + 0.565 \left( \frac{\mu - 1}{\mu \pi} \right) \quad (4)$$

$$\mu = \frac{A_d}{A_y} \quad (5)$$

که در روابط فوق  $m_i$  جرم لرزه‌ای،  $A_i$  تغییر مکان طبقه نام،  $h_i$  ارتفاع طبقه از تراز مبنا و  $A_d$  تغییر مکان حد تسليم می‌باشد. همچنین عبارت  $\theta_{NXCP-CM}$  به منظور در نظر گرفتن پاسخ XCP- CM پیچشی سازه می‌باشد که در آن  $N\theta$  دوران پیچشی طبقات و  $\theta_{DBD12}$  فاصله بین نقطه بحرانی پلان و مرکز جرم سازه است. با مشخص بودن جایه‌جایی هدف بر اساس حالات حدی، برش پایه طراحی ( $V_{base}$ ) بر مبنای ضوابط موجود در پیش‌نویس دستورالعمل DBD12، مطابق رابطه (۶) محاسبه می‌شود و در ارتفاع سازه توزیع می‌گردد که در پی آن نیروهای طراحی اعضا به دست آمده و سازه برای سطح عملکرد مورد نظر طراحی می‌شود [۱۴].

$$V_{Base} = K_e A_d + V_{P-\Delta} \leq (2.5 R_\xi PGA) m_e + V_{P-\Delta} \quad (6)$$

$$V_{P-\Delta} = C \frac{\sum_{i=1}^n P_i A_i}{H_e} \quad (7)$$

که در آن  $K_e$  سختی معادل،  $R_\xi$  ضریب اصلاح طیف پاسخ تغییر مکان، PGA ماکریم شتاب زمین ساختگاه در سطح لرزه‌ای مورد نظر طراح،  $P_i$  مجموع بار ثقلی طبقه نام و ثابت  $C$  از تحلیل منطقی و یا بر اساس پیش‌نویس DBD12 برای سازه‌های بتی ۰/۵ در نظر گرفته می‌شود.

ایزدی و مقدم [۱۶] در سال ۲۰۱۵ توسعه طیف تغییر مکان برای میرایی‌های مختلف را در دستور کار قرار دادند. طیف‌های توسعه داده شده با استفاده از شتاب‌نگاشت‌های منطبق شده با

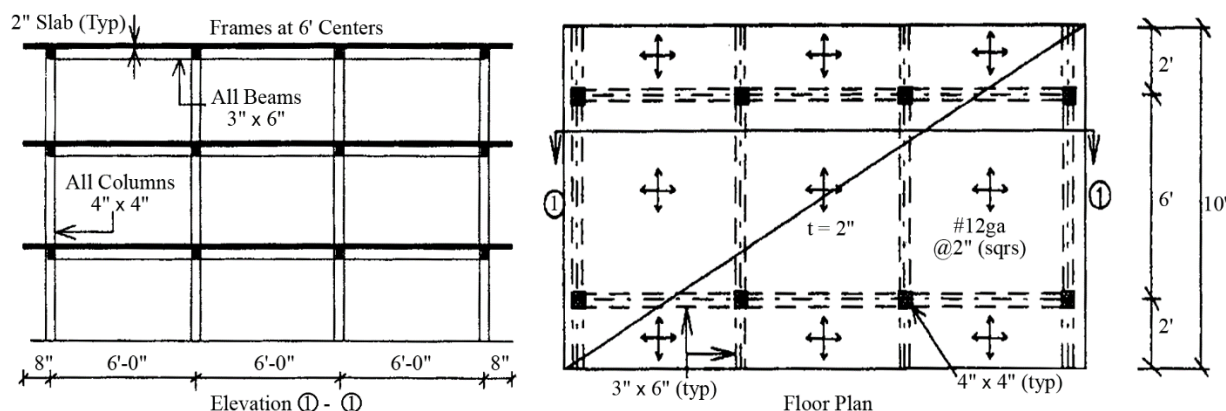
جدول (۳): سیستم تک درجه آزاد معادل قاب‌ها.

V <sub>b</sub>	K <sub>eff</sub>	T <sub>eff</sub> (sec)	ζ <sub>eff</sub> %	Δ <sub>d</sub> (m)	h <sub>e</sub> (m)	m <sub>e</sub> (kN.m)	St.
۹۹۸/۷۱	۶۴۹۲/۲	۱/۰۹	۱۱/۱۶	۰/۱۵۲	۷/۰۶	۱۹۵/۳۸	۳
۱۱۳۹/۹	۴۸۰۷/۴	۱/۶	۱۲/۸۳	۰/۲۳۳	۱۱/۰۷	۳۱۱/۷۴	۵
۱۵۶۸/۹	۶۲۶۶/۱	۱/۶۴	۱۱/۳۸	۰/۲۴۸	۱۵/۱	۴۲۶/۹	۷
۲۰۴۴/۹	۵۷۰۹/۵	۲/۱۳	۱۱/۳۸	۰/۳۵۳	۲۲/۱۵	۶۵۶/۱۴	۱۱

جدول (۴): مشخصات مقاطع طراحی شده به روش طراحی مستقیم مبتنی بر تغییر مکان.

طبقه ۱۱			طبقه ۷			طبقه ۵			طبقه ۳			طبقه
ستون‌های داخل	ستون‌های کنار	تیر (h×b)	ستون	تیر (h×b)	ستون	تیر (h×b)	ستون	تیر (h×b)	ستون	تیر (h×b)	ستون	
۴۰×۴۰	۴۰×۴۰	۳۵×۳۵										۱۱
۴۰×۴۰	۴۵×۴۵	۴۰×۴۰										۱۰
۴۵×۴۵	۵۰×۵۰	۴۵×۴۰										۹
۵۰×۵۰	۵۵×۵۵	۵۰×۴۰										۸
۵۰×۵۰	۵۵×۵۵	۵۵×۴۰	۴۵×۴۵	۳۵×۳۵								۷
۵۵×۵۵	۶۰×۶۰	۶۰×۴۰	۴۵×۴۵	۴۵×۴۰								۶
۵۵×۵۵	۶۰×۶۰	۶۰×۴۰	۵۰×۵۰	۵۰×۴۰	۴۰×۴۰	۳۵×۳۵						۵
۵۵×۵۵	۶۵×۶۵	۶۰×۴۰	۵۰×۵۰	۵۵×۴۰	۴۵×۴۵	۴۵×۴۰						۴
۵۵×۵۵	۶۵×۶۵	۶۰×۴۰	۵۵×۵۵	۵۵×۴۰	۴۵×۴۵	۴۵×۴۰	۴۰×۴۰	۳۵×۳۵				۳
۵۵×۵۵	۶۵×۶۵	۶۰×۴۰	۵۵×۵۵	۵۵×۴۰	۵۰×۵۰	۵۰×۴۰	۴۰×۴۰	۴۰×۳۵				۲
۵۵×۵۵	۶۵×۶۵	۶۰×۴۰	۶۰×۶۰	۵۵×۴۰	۵۰×۵۰	۵۰×۴۰	۴۵×۴۵	۴۰×۳۵				۱

کلیه واحدها بر حسب سانتی‌متر است



شکل (۳): پلان و نمای مدل انتخاب شده به منظور اعتبار سنجی [۱۸].

تحت رکورد زلزله تفت در مقادیر شتاب  $0.05g$ ,  $0.2g$ ,  $0.3g$  با نتایج آزمایشگاهی مقایسه گردید. همان‌طور که در جدول (۵) مشاهده می‌شود در صد اختلاف پاسخ‌ها در اکثر موارد از ۱۰ درصد تجاوز نکرده است.

#### ۴- نتایج و بحث

سازه‌های طراحی شده با استفاده از دو روش شرح داده شده، از چهار جنبه مختلف مورد ارزیابی قرار می‌گیرند. در قسمت نخست پاسخ‌های کلی تغییر مکانی سازه شامل تغییر مکان جانبی نسبی و میزان انطباق پروفیل تغییر مکان طبقات با پروفیل تغییر مکان هدف

رفتاری قابل مدل‌سازی در نرم‌افزار Perform تطبیق داده می‌شوند. مدل‌سازی المان ستون نیز با استفاده از مدل دوران قطري (وتری) که به طور غیر مستقیم از مفاصل خمیری استفاده می‌کند، انجام شده است. به منظور اعتبارسنجی مدل‌سازی از نتایج یک نمونه آزمایشگاهی سازه بتن آرمه که در سال ۱۹۹۵ توسط براسی و همکاران [۱۸] انجام شده است، استفاده می‌شود. شکل (۳) پلان و نمای سازه ساخته شده را نشان می‌دهد.

سازه مدل‌سازی شده تحت تحلیل‌های تاریخچه زمانی غیرخطی قرار گرفته است. پاسخ‌های تغییر مکانی سازه بررسی شده شامل ییشینه تغییر مکان طبقات و تغییر مکان نسبی طبقات

جدول (۵): مقایسه نتایج اعتبارسنجی با نتایج مدل آزمایشگاهی مورد نظر.

بیشینه برش وارد بر طبقات (۷/۷)				بیشینه تغییر مکان نسبی طبقات (میلی‌متر)				بیشینه تغییر مکان نسبی طبقات (درصد)				طبقه	حداکثر شتاب زمین
درصد اختلاف	نرم افزار	آزمایش [۱۸]	درصد اختلاف	نرم افزار	آزمایش [۱۸]	درصد اختلاف	نرم افزار	آزمایش [۱۸]	درصد اختلاف	نرم افزار	آزمایش [۱۸]		
۹/۶۹	۳/۷۹	۴/۲	۷/۰۲	۷/۰۷	۷/۶	۱۷/۸۷	۰/۱۹	۰/۲۳	۰/۱۹	۰/۲۳	۰/۲۳	۳	۰/۰۵g
۸/۹۷	۵/۷۱	۵/۲	۶/۲۲	۵/۲۵	۵/۶	۵/۹	۰/۲۳	۰/۲۴	۰/۲۳	۰/۲۴	۰/۲۴	۲	
۳/۳۷	۶/۷۳	۶/۵	۹/۵۸	۳/۲۶	۳/۶	۴/۳۶	۰/۲۷	۰/۲۸	۰/۲۷	۰/۲۸	۰/۲۸	۱	
۳/۰۹	۷/۱۲	۶/۹	۲/۱۴	۳۲/۷۸	۳۳/۵	۲/۶۳	۰/۵۲	۰/۵۴	۰/۵۲	۰/۵۴	۰/۵۴	۳	
۹/۵۲	۱۲/۷۱	۱۱/۵	۱/۷۷	۲۹/۵۲	۲۹	۷/۷	۰/۹۹	۱/۰۷	۰/۹۹	۱/۰۷	۱/۰۷	۲	۰/۰۲g
۶/۶۹	۱۶/۲۹	۱۵/۲	۱۷/۶۵	۱۹/۷۹	۱۶/۳	۲۸/۸۶	۱/۸۷	۱/۱۳۳	۱/۸۷	۱/۱۳۳	۱/۱۳۳	۱	
۹/۲۸	۹/۷	۸/۸	۲/۷۵	۵۸/۰۶	۵۹/۷	۱۰/۱۰	۰/۹۹	۰/۸۹	۰/۹۹	۰/۸۹	۰/۸۹	۳	
۱۰/۰۱	۱۵/۸۹	۱۴/۳	۱/۶۰	۵۲/۹۵	۵۲/۱	۴/۶۸	۲/۳۵	۲/۲۴	۴/۶۸	۲/۲۴	۲/۲۴	۲	
۸/۴۹	۱۶/۷۲	۱۵/۳	۱۸/۲۰	۳۰/۰۷	۲۴/۶	۸/۱۴	۲/۲۱	۲/۰۳	۸/۱۴	۲/۰۳	۲/۰۳	۱	۰/۰۳g

و آسیب کل ساختمان محاسبه می‌شود. در انتها روش‌های طراحی نیرویی و تغییر مکانی از دیدگاه اقتصادی مورد بررسی قرار می‌گیرند و میزان آرماتور و بتن مصرفی المان‌ها ارزیابی و مقایسه می‌شود.

جدول (۶): محدوده مقادیر شاخص خرابی پارک و همکاران [۲۲].

محدوده شاخص خرابی کل سازه	حالت خرابی
۰/۱ تا ۰/۰۱	خرابی غیر سازه‌ای
۰/۲ تا ۰/۱	خرابی سازه‌ای کم
۰/۵ تا ۰/۲	خرابی سازه‌ای متوسط
۰/۸۵ تا ۰/۰۵	خرابی سازه‌ای زیاد
۱/۱۵ تا ۰/۰۵	فروپاشی کلی

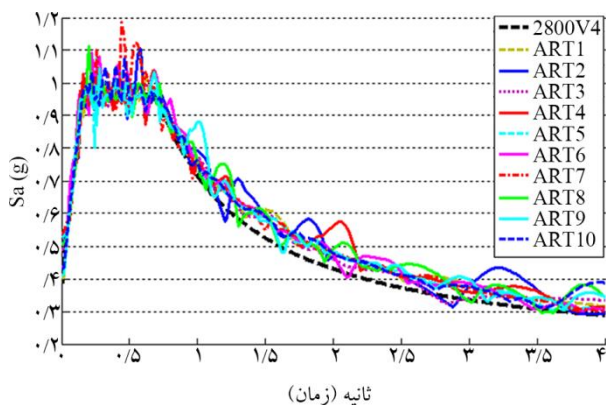
۴- بررسی پاسخ‌های کلی تغییر مکانی قاب‌ها  
برای بررسی پاسخ‌های تغییر مکانی و بررسی وضعیت مفاصل پلاستیک در تحلیل‌های تاریخچه زمانی غیرخطی از ۱۰ رکورد مصنوعی منطبق شده با طیف طرح ویرایش چهارم استاندارد ۲۸۰۰ استفاده شده است. بهار و طاهرپور [۲۳] در سال ۲۰۰۸ با استفاده از مبانی تبدیل موجک به توسعه الگوریتمی برای تبدیل شتاب‌نگاشت‌های مبنای به شتاب‌نگاشت‌های مصنوعی منطبق بر طیف طراحی پرداختند. در این پژوهش از کدهای توسعه یافته توسط ایزدی و مقدم [۱۶] در سال ۲۰۱۵ که بر پایه مطالعات بهار و

بررسی می‌شوند. در بخش دوم میزان دوران مفاصل پلاستیک به عنوان گزینه‌ای مناسب جهت بررسی خسارت‌های موضعی مورد مطالعه قرار می‌گیرد. در بخش سوم بررسی شدت خسارت وارد بر سازه‌ها از دیدگاه احتمالاتی با استفاده از مدل‌های تحلیلی خسارت در دستور کار قرار می‌گیرد. از میان مدل‌های مختلف خسارت نظری شاخص نرم‌شدگی کویلوگلو و همکاران [۱۹] در سال ۱۹۹۴، توسعه شاخص خسارت پارک انگ تو سط میکامی و لمورا [۲۰] در سال ۲۰۰۰ و معرفی شاخص زمان - دوام تو سط استکانچی و همکاران [۲۱] در سال ۲۰۰۷، صحت عملکرد شاخص پیشنهادی پارک و همکاران [۲۲] که در رابطه (۹) ارائه شده است، مورد تأیید بسیاری از محققین می‌باشد.

در این پژوهش آسیب سازه ۵ و ۱۱ طبقه با استفاده از رابطه پیشنهادی پارک و همکاران [۲۲] در سطوح مختلف خرابی مطابق جدول (۶) مورد بررسی قرار گرفته است.

$$DI = \frac{\theta_m - \theta_r}{\theta_u - \theta_r} + \frac{\beta}{M_y \theta_u} \int dE_h \quad (9)$$

که در آن  $\theta_m$ ,  $\theta_r$ ,  $\theta_u$ ,  $M_y$  و  $E_h$  به ترتیب بینانگر بیشترین چرخش به دست آمده در طول زلزله، ظرفیت چرخش زهایی مقطع، چرخش جبرانی، لنگر جاری شده و میزان جذب انرژی مقطع می‌باشد. با استفاده از این مدل شاخص آسیب المان (تیرها و ستون‌ها)، آسیب طبقه (اجزای افقی و قائم و آسیب کل طبقه)

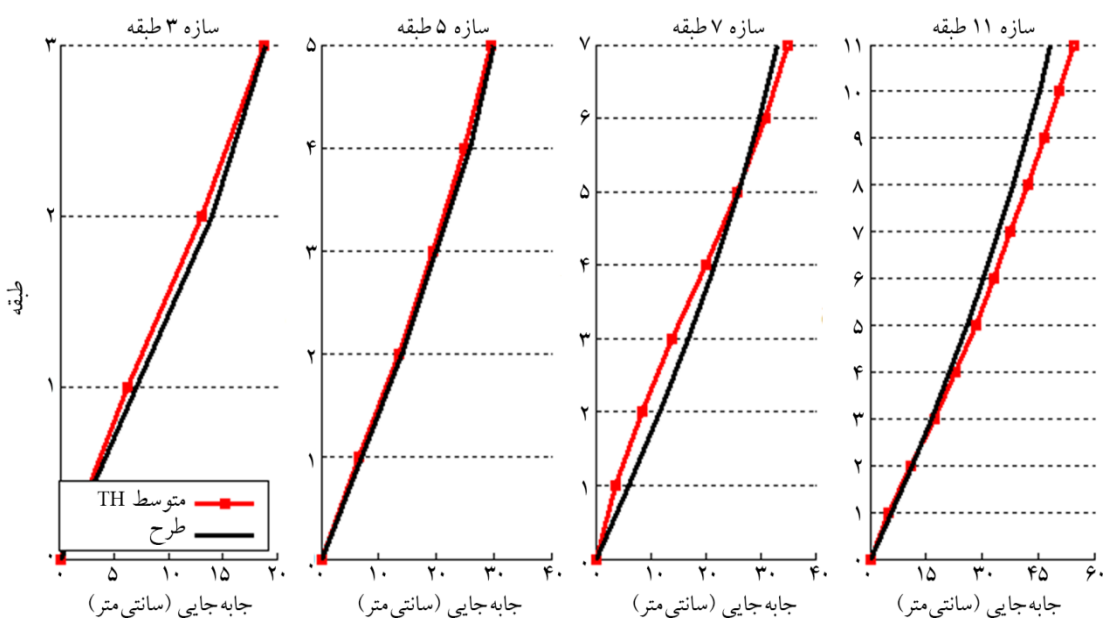


شکل (۴): مقایسه طیف‌های پاسخ شتاب‌نگاشتهای مصنوعی با طیف طرح استاندارد ۲۸۰۰.

طاهرپور است، استفاده شده است. تعداد ۱۰ شتاب‌نگاشت طبیعی انتخاب شده در جدول (۷) به عنوان شتاب‌نگاشتهای پایه انتخاب گردیده تا محتوای فرکانسی و خصوصیات رکوردهای مصنوعی تولید شده، با رکوردهای طبیعی انتخابی شباهت حداقل داشته باشد. نتایج انطباق طیف‌های پاسخ شتاب‌نگاشتهای مصنوعی برای خاک نوع III و خطر نسبی زیاد در شکل (۴) قابل مشاهده است. در شکل (۵) مقادیر پاسخ تغییر مکانی سازه‌ها با پروفیل تغییر مکان طراحی مستقیم مقایسه شده است. نتایج تحلیل‌ها انطباق قابل قبولی را با پروفیل تغییر مکان هدف نشان می‌دهند؛ به گونه‌ای که

جدول (۲): مشخصات شتاب‌نگاشتهای پایه استفاده شده برای تولید شتاب‌نگاشتهای مصنوعی.

ردیف	زلزله	تاریخ	بزرگا	موقعیت	Vs (m/s)	PGA (g)
۱	نورث‌ریج	۱۹۹۴	۶/۷	Canyon Country - WLC	۳۰.۹	۰/۴۸
۲	امپریال ولی	۱۹۷۹	۶/۵	Delta	۲۷۵	۰/۳۵
۳	امپریال ولی	۱۹۷۹	۶/۵	El Centro	۱۹۶	۰/۳۸
۴	کوبه، ژاپن	۱۹۹۵	۶/۹	Shin-Osaka	۲۵۶	۰/۲۳۳
۵	کوجائیلی، ترکیه	۱۹۹۹	۷/۵	Duzce	۲۷۶	۰/۳۶۴
۶	لندرز	۱۹۹۲	۷/۳	Yermo Fire Station	۳۵۴	۰/۲۴۵
۷	لندرز	۱۹۹۲	۷/۳	Coolwater	۲۷۱	۰/۴۱۷
۸	لوماپریتا	۱۹۸۹	۶/۹	Capitola	۲۸۹	۰/۵۲
۹	لوماپریتا	۱۹۸۹	۶/۹	Gilroy Array #3	۳۵۰	۰/۵۵۹
۱۰	سوپرسیشن هیلز	۱۹۸۷	۶/۵	El Centro I.C	۱۹۲	۰/۳۵۷



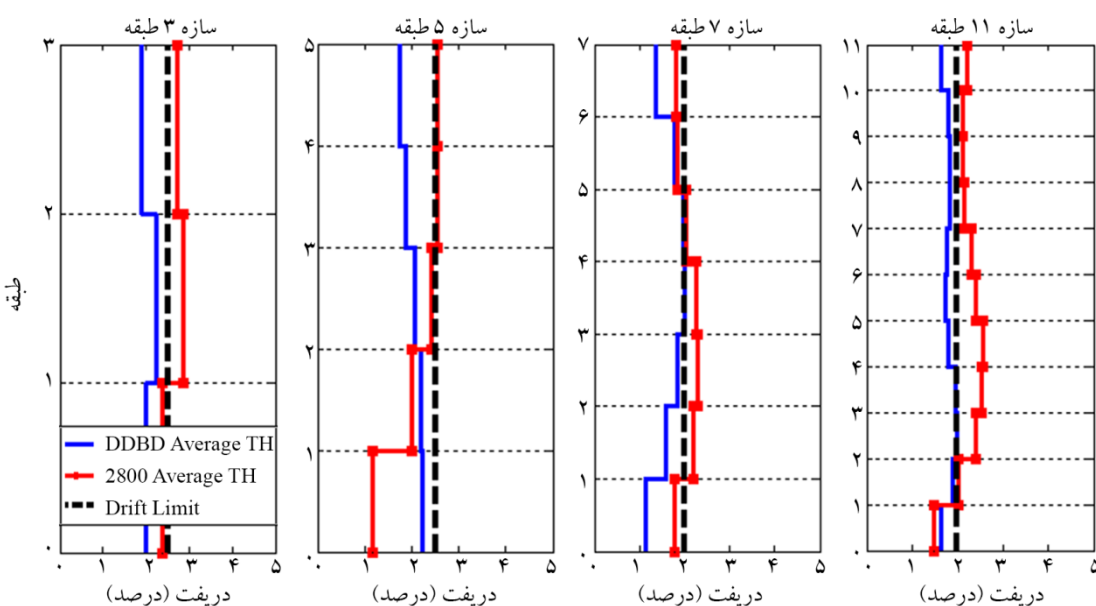
شکل (۵): پروفیل تغییر مکان تحلیلی در مقایسه با پروفیل تغییر مکان طراحی.

و کوچک‌ترین مقدار تغییر مکان جانبی نسبی طبقات می‌باشد، برای قاب‌های ۳، ۵ و ۱۱ طبقه طراحی شده به روش طراحی مستقیم به ترتیب ۰/۳۵، ۰/۴۸، ۰/۸۶ و ۰/۳۵ درصد می‌باشد. در صورتی که مقدار این پارامتر در قاب‌های ۳، ۵ و ۷ و ۱۱ طبقه طراحی شده به روش نیرویی به ترتیب ۰/۴۹، ۰/۴۹، ۱/۴ و ۰/۴۹ درصد می‌باشد. بنابراین مشاهده می‌شود که در روش طراحی مستقیم، تغییرات تغییر مکان جانبی نسبی طبقات به جز در یک مورد رو ند یکنواخت‌تری را دنبال می‌کنند.

**۴-۳- بررسی خسارت‌های موضعی (دوران مفاصل پلاستیک)**  
زمانی که در سازه مفصل پلاستیک تشکیل می‌شود به معنای وارد شدن آسیب به سازه است. لیکن سطح خرابی وارد بر سازه با ارائه طرح‌های مهندسی قابل مدیریت و کنترل است. بررسی و محدودسازی میزان دوران مفاصل پلاستیک یکی از راه کارهای کنترل خرابی‌های موضعی در سطوح مختلف عملکردی سازه‌ها می‌باشد. این بخش به بررسی و مقایسه میزان دوران مفاصل پلاستیک در سازه‌های معرفی شده به دو روش نیرویی و تغییر مکانی می‌پردازد. برای این منظور میزان چرخش مفاصل پلاستیک المان‌ها در هر دو روش طراحی، از منحنی‌های هیسترزیس تحت رکوردهای زلزله معرفی شده به دست آمده است.

اختلاف پروفیل تغییر مکان تحلیلی و پروفیل تغییر مکان طراحی در بدترین حالت برای قاب‌های ۳، ۵ و ۱۱ طبقه به ترتیب از مقداری ۰/۸۸، ۱/۲۳ و ۰/۲۳ سانتی‌متر فراتر نرفته است. همچنین محاسبه میانگین درصد تغییرات پروفیل تغییر مکان طراحی و تحلیلی برای قاب‌های ۳، ۵ و ۱۱ طبقه به ترتیب مقادیر ۴/۵۷، ۲/۸۳ و ۵/۳۰ و ۸/۶۶ درصد محاسبه شده است. بنابراین روش طراحی مستقیم مبتنی بر تغییر مکان به نحو مطلوبی بیشینه تغییر مکان طبقات را پیش‌بینی کرده است که این موضوع تأثیر زیادی در کنترل خسارت‌های ناشی از زلزله‌ها دارد.

بیشینه گزین طبقات مختلف سازه‌ها در شکل (۶) ارائه شده است. همان‌طور که مشاهده می‌شود مقدار این پارامتر در روش طراحی مستقیم برای قاب‌های ۳، ۵ و ۱۱ طبقه در بحرانی‌ترین طبقات به ترتیب برابر ۰/۲۲، ۰/۲۳ و ۱/۹۹ درصد می‌باشد. این مقادیر در هیچ‌کدام از موارد از حد مجاز ۰/۵ درصد برای قاب‌های ۳ و ۵ طبقه و از حد مجاز ۰/۲ درصد برای قاب‌های ۷ و ۱۱ طبقه، فراتر نرفته است. این در حالی است که در روش طراحی نیرویی، متوسط بیشینه تغییر مکان بحرانی‌ترین طبقات، به ترتیب برای قاب‌های ۳، ۵ و ۱۱ طبقه، مقادیر ۰/۳۷، ۰/۵۶ و ۰/۵۵ درصد می‌باشد که در تمامی موارد از حدود مجاز معرفی شده فراتر رفته است. همچنین دامنه تغییرات که بیانگر اختلاف بین بزرگ‌ترین



شکل (۶): مقایسه تغییر مکان نسبی طبقات دو روش طراحی نیرویی و طراحی مستقیم بر اساس تغییر مکان.

هدف عملکردی اینمنی جانی در تمامی مفاصل پلاستیک ایجاد شده در تیرها در روش طراحی مستقیم مبتنی بر تغییر مکان می‌باشد. این در حالی است که تعدادی از مفاصل در روش نیرویی از حد عملکرد اینمنی جانی فراتر رفته‌اند.

**۴-۳- ارزیابی احتمالاتی و توسعه منحنی‌های شکنندگی**

احتمال فرآگذشت سازه از سطوح مختلف خسارت پارامتری مناسب جهت ارزیابی رفتار سازه‌های طراحی شده با روش‌های مختلف طراحی می‌باشد. استفاده از منحنی‌های شکنندگی روشی مناسب جهت تعیین احتمال افزایش میزان خسارت از مقدار مشخص شده در سطوح مختلف آسیب می‌باشد. منحنی‌های شکست خرابی را بین حالات مختلف توزیع می‌کنند و برای هر حالت خرابی در هر جنبش زمین به صورت جداگانه ترسیم می‌شوند. بارن-کوورا [۲۵] در سال ۲۰۰۰ با ارائه رابطه (۱۰) به نشان دادن احتمال شرطی تجاوز پاسخ لرزه‌ای سازه از حالات عملکردی خاص پرداخت.

$$Feragility = P \{R \geq r_{lim} | I\} \quad (10)$$

که در آن  $R$  پارامتر پاسخ،  $r_{lim}$  حد آستانه پاسخ و  $I$  پارامتر معرف زمین لرزه می‌باشد. این تعریف برای پارامترهای بعدی پاسخ نیز به صورت رابطه (۱۱) قابل تعمیم است.

$$\begin{aligned} Feragility &= \\ P \{R_1 \geq r_{lim1} \cup R_2 \geq r_{lim2} \cup \dots \cup R_N \geq r_{limN} | I\} &= \quad (11) \\ P \left\{ \bigcup_{i=1}^N R_i \geq r_{limi} \mid I \right\} \end{aligned}$$

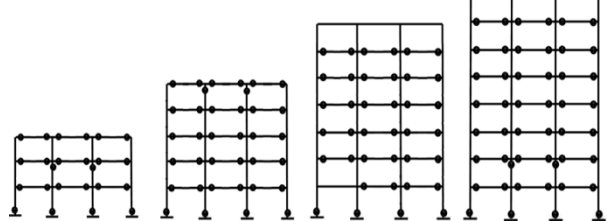
برای به دست آوردن منحنی‌های شکنندگی چهار روش تجربی، قضاویت مهندسی، روش تحلیلی و ترکیبی وجود دارد [۲۶]. در این مطالعه از روش‌های تحلیلی به دلیل دقیق‌تر آنها استفاده شده است. در روش‌های تحلیلی منحنی‌های شکست بر اساس تحلیل مدل‌های مختلف تحت شدت‌های افزاینده زمین لرزه، به دست می‌آیند. این تحلیل‌ها می‌توانند به صورت تحلیل‌های تاریخچه زمانی غیرخطی، تحلیل طیفی خطی و تحلیل استاتیکی غیرخطی باشند. به دلیل دقیق‌تر روش‌های تحلیلی

بدین ترتیب منحنی هیسترزیس همه مفاصل تشکیل شده در سازه تحت هر رکورد برسی شده و مقدار بیشینه دوران مفصل یادداشت می‌شود. سپس میانگین دوران ۱۰ رکورد در هر مفصل با مقدار مجاز دستورالعمل ۱۷-ASCE41-2017 مقایسه می‌شود [۲۶]. در نهایت تعداد مفاصلی که از حدود عملکرد خدمت‌رسانی بی‌وقفه (IO)، اینمنی جانی (LS) و آستانه فوریزش (CP) تجاوز کرده‌اند در جدول (۸) آورده شده است. همچنین در شکل‌های (۷) و (۸) محل دقیق مفاصل عبور کرده از سطوح مختلف عملکرد نشان داده شده است. نتایج نشان‌دهنده‌ی برآورده شدن

جدول (۸): تعداد مفاصل پلاستیک عبور کرده از سطوح عملکرد مختلف.

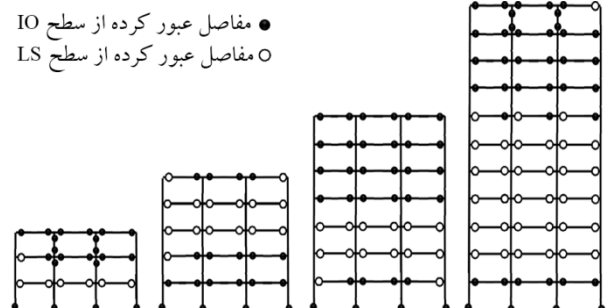
CP	LS		IO		تعداد نواحی مستعد	طبقات	
	۲۸۰۰	DBD	۲۸۰۰	DBD	۲۸۰۰	DBD	
.	.	۷	.	۲۸	۲۴	۴۲	۳
.	.	۱۵	.	۳۴	۳۶	۷۰	۵
.	.	۱۴	.	۴۶	۳۸	۹۸	۷
.	.	۳۴	.	۷۴	۶۹	۱۵۴	۱۱

- مفاصل عبور کرده از سطح IO
- مفاصل عبور کرده از سطح LS



شکل (۷): محل مفاصل پلاستیک عبور کرده از سطوح عملکرد مختلف در روش طراحی DDBD

- مفاصل عبور کرده از سطح IO
- مفاصل عبور کرده از سطح LS



شکل (۸): محل مفاصل پلاستیک عبور کرده از سطوح عملکرد مختلف در روش طراحی ۲۸۰۰

این منحنی‌ها به گونه‌ای که در ک رفتار سازه ساده‌تر باشد، ضروری است. با توجه به توصیه کرنل ساده‌ترین روش برای عمومیت دادن به نتایج، استفاده از مقادیر میانگین ۱۶ درصد، ۵۰ درصد و ۸۴ درصد می‌باشد که برای سازه‌های مورد بررسی در شکل‌های (۹) و (۱۰) آورده شده است [۲۷]. در تحلیل دینامیکی افزاینده به‌منظور انتخاب مقادیر شدت که طی یک فرایند افزایشی مورد استفاده قرار می‌گیرند، باید بهینه بودن تعداد نقاط برای رسم نمودار IDA را مد نظر قرار داد؛ به این صورت که در نواحی خطی تعداد این نقاط به حداقل مقدار کاهش پیدا کند و در نواحی غیرخطی و محتمل وقوع فروریزش برای دقت بیشتر، تعداد این نقاط به مقدار کافی زیاد باشد. ابتداً ترین الگوریتم مورد استفاده در تحلیل‌های دینامیکی افزاینده<sup>۴</sup>، استفاده از الگوریتم مقادیر افزاینده با گام ثابت می‌باشد که نکته فوق را مد نظر قرار نداده است. در این مطالعه برای دقت بیشتر نتایج از الگوریتم هانت فیل<sup>۵</sup> برای مقایسه رکوردها استفاده شده است [۲۸].

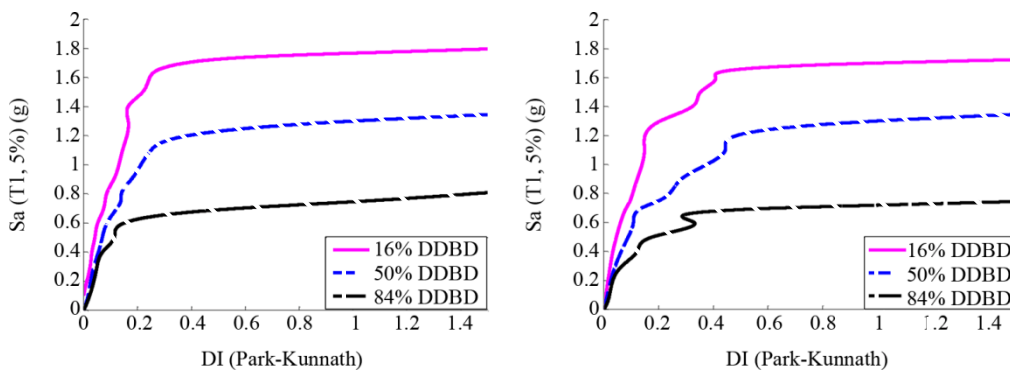
دینامیکی افزاینده، این روش به عنوان مبنای پژوهش حاضر انتخاب شده است.

تحلیل دینامیکی افزاینده نیازمند معرفی کمیتی برای بیان پاسخ‌های سازه در برابر زلزله نظیر برش پایه، حداکثر تغییر مکانیکی، حداکثر تغییر مکان جانبی نسبی و دوران گرهی می‌باشد. در این پژوهش شاخص پارک و کوئات به عنوان یکی از معتبرترین شاخص‌های خسارت، در ترسیم منحنی‌های حاصل از تحلیل‌های دینامیکی افزاینده (IDA) مورد استفاده قرار گرفته است.

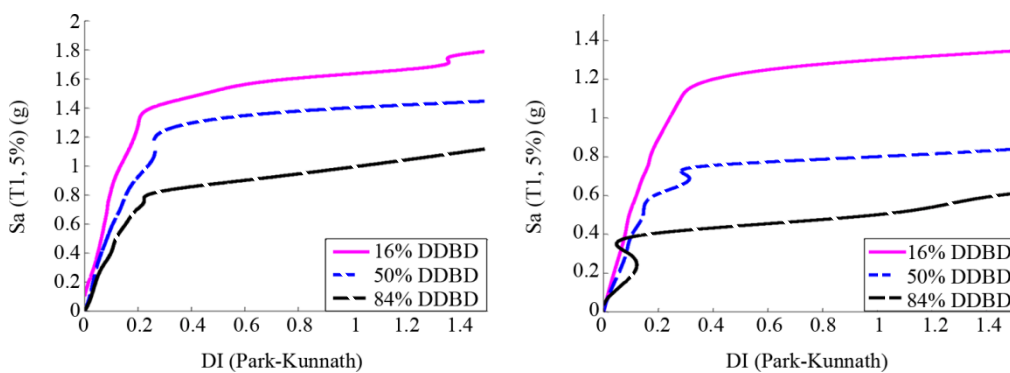
منحنی‌های IDA ترسیمی از رفتار دینامیکی سازه می‌باشند که وابستگی شدیدی به رکورد انتخابی دارند. بنابراین با استفاده از یک رکورد قادر به پیش‌بینی رفتار سازه در برابر زلزله نمی‌باشند. از این رو تعداد مناسبی از رکوردهای زمین‌لرزه انتخاب می‌شود. بدین منظور از ۱۷ رکورد پیشنهادی FEMA مطابق جدول (۹) استفاده شده است. برای پی بردن به این نکته که احتمال اثر کردن کدامیک از رکوردها در طول عمر سازه محتمل‌تر است، ترکیب

جدول (۹): مشخصات شتاب‌نگاشت‌های استفاده شده در تحلیل‌های دینامیکی افزاینده.

شماره	ذوزله	تاریخ	بزرگا	موقعیت	Vs (m/s)	PGA (g)
۱	امپریال ولی	۱۹۷۹	۶/۵	Delta	۲۷۵	۰/۳۵
۲	کوبه، ژاپن	۱۹۹۵	۶/۹	Shin-Osaka	۲۵۶	۰/۲۳۳
۳	کوجانیلی، ترکیه	۱۹۹۹	۷/۵	Duzce	۲۷۶	۰/۳۶۴
۴	لندرز	۱۹۹۲	۷/۳	Coolwater	۲۷۱	۰/۴۱۷
۵	لندرز	۱۹۹۲	۷/۳	Yermo Fire Station	۳۵۴	۰/۲۴۵
۶	لوماپریتا	۱۹۸۹	۶/۹	Gilroy Array #3	۳۵۰	۰/۵۵۴
۷	منجلی، ایران	۱۹۹۰	۷/۳	Abbar	۳۰۲	۰/۲۰۹
۸	سانفرناندو	۱۹۷۱	۶/۶	LA - Hollywood Stor	۳۱۶	۰/۲۵۵
۹	سوپرستیشن هیلز	۱۹۸۷	۶/۵	El Centro I.C	۱۹۲	۰/۳۵۷
۱۰	طبس	۱۹۷۸	۷/۴	Ferdows	۳۰۲	۰/۱۰۱
۱۱	نورث‌ریچ	۱۹۹۴	۶/۷	Beverly Hills	۳۵۵	۰/۴۸۸
۱۲	نورث‌ریچ	۱۹۹۴	۶/۷	Canyon Country - WLC	۳۰۹	۰/۴۸
۱۳	لوماپریتا	۱۹۸۹	۶/۹	Capitola	۲۸۹	۰/۰۵۳
۱۴	سوپرستیشن هیلز	۱۹۸۷	۶/۵	Poe Road	۲۰۸	۰/۰۴۵
۱۵	امپریال ولی	۱۹۷۹	۶/۵	El Centro	۱۹۶	۰/۰۳۸
۱۶	چی-چی	۱۹۹۹	۷/۶	CHY101	۲۵۹	۰/۰۴۴
۱۷	دوزجه، ترکیه	۱۹۹۹	۷/۱	Bolu	۲۹۳	۰/۰۸۰۶



شکل (۹): منحنی‌های IDA خلاصه‌شده برای قاب ۵ طبقه به ترتیب از سمت راست طراحی ۲۸۰۰ و ۱۶% DDBD



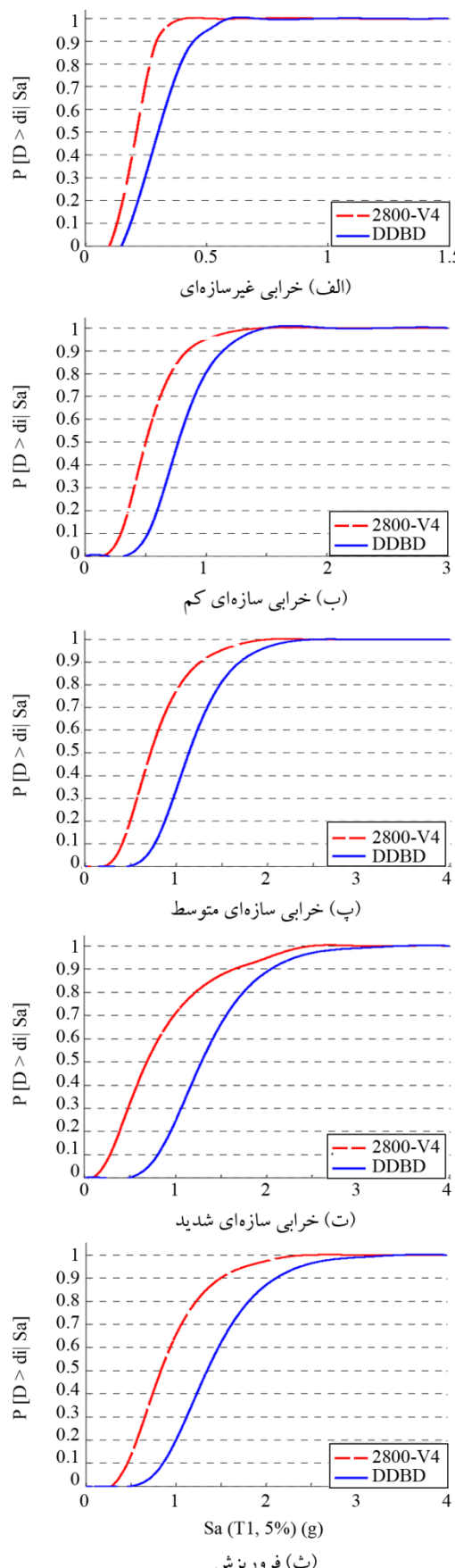
شکل (۱۰): منحنی‌های IDA خلاصه‌شده برای قاب ۱۱ طبقه به ترتیب از سمت راست طراحی ۲۸۰۰ و ۱۶% DDBD

(شامل پارامترهای تقاضای مهندسی حاصل از تحلیل‌های دینامیکی غیرخطی) توسط آزمون‌های معرفی شده تابع توزیع مناسب از بین تعداد زیادی تابع توزیع مختلف نظری توزیع نرمال، توزیع لوگ نرمال، توزیع پواسون، توزیع بتا، توزیع نمایی و توزیع یکنواخت انتخاب می‌شود. در این پژوهش به طور تصادفی پنج دسته از داده‌ها، در نرم‌افزار Easyfit مورد آزمون قرار گرفته‌اند. بررسی توزیع آماری مناسب برای داده‌ها نشان‌دهنده‌ی عملکرد مناسب توزیع لوگ نرمال برای تولید منحنی‌های شکنندگی می‌باشد.

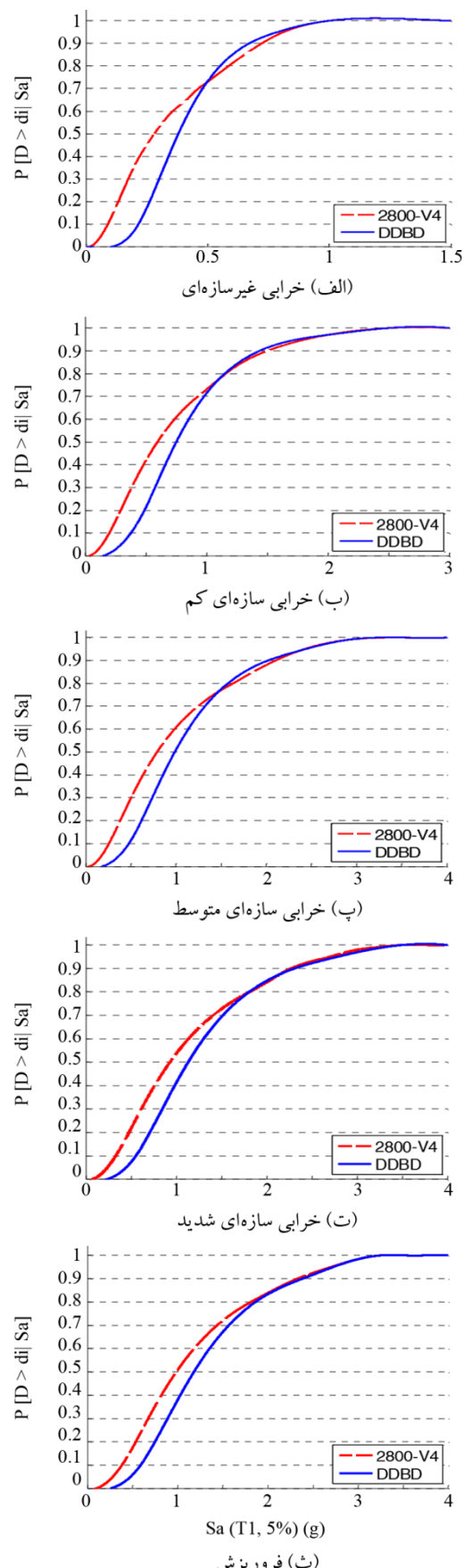
در این پژوهش خسارت سازه‌ها با استفاده از شاخص پیشنهادی پارک و کوناث در پنج سطح خرابی مختلف نظری خرابی غیر سازه‌ای، خرابی سازه‌ای کم، خرابی سازه‌ای متوسط، خرابی سازه‌ای زیاد و فروپاشی کلی، مورد بررسی قرار گرفته است و منحنی شکنندگی قاب‌ها در هر یک این سطوح با به کارگیری توزیع لوگ نرمال در شکل‌های (۱۱) و (۱۲) ترسیم شده است.

بر اساس این الگوریتم در ابتدا یک مقدار کوچک از شاخص شدت که بر اساس آن سازه در محدوده الاستیک باقی می‌ماند در نظر گرفته می‌شود. پس از آن نوبت به یافتن شاخص شدت در محدوده فروریزش است. برای این منظور مقدار شاخص شدت به صورت جهشی افزایش پیدا می‌کند و از مقدار فروریزش فراتر می‌رود. سپس طی یک فرایند تکراری با استفاده از نقاط قبلی، شاخص شدت متناظر با فروریزش به طور نسبتاً دقیق تعیین می‌شود. در انتهای نقاط باقی مانده از تعداد نقاط انتخابی صرف افزایش دقت در قسمت اولیه نمودار می‌شوند.

تولید منحنی شکنندگی نیازمند تعیین یک تابع توزیع آماری مناسب برای پارامترهای تقاضای مهندسی به دست آمده از تحلیل‌های ریاضی می‌باشد. نرم‌افزار Easyfit با در نظر گرفتن سه آزمون کولموگروف اسکمینوف [۲۹]، اندرسون دارلینگ [۳۰]، خی دو (کای دو) یک متغیری [۳۱]، به صورت جداگانه به رتبه‌بندی نوع توزیع مختلف می‌پردازد. پس از بررسی داده‌ها

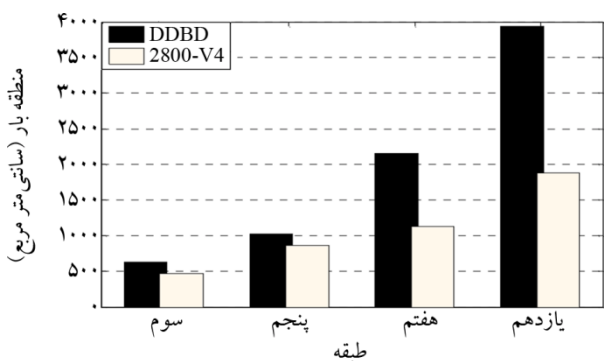


شکل (۱۲): منحنی‌های شکنندگی قاب ۱۱ طبقه در سطوح خرابی مختلف.

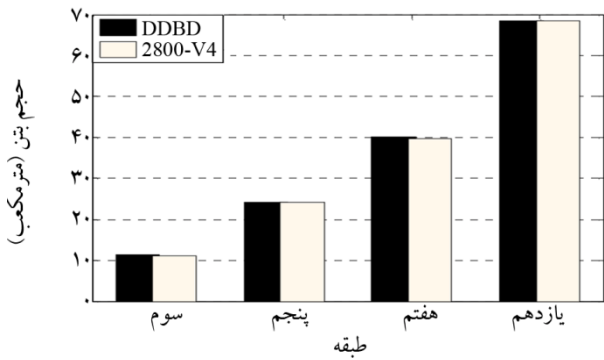


شکل (۱۱): منحنی‌های شکنندگی قاب ۵ طبقه در سطوح خرابی مختلف.

قطع آرماتورها و حجم بتن مصرفی در دو روش طراحی می‌باشند. نتایج طراحی نشان‌دهنده‌ی استفاده از آرماتور و بتن بیشتر در روش طراحی مستقیم مبتنی بر تغییر مکان نسبت به روش مبتنی بر ضوابط ویرایش چهارم استاندارد ۲۸۰۰ می‌باشد. همان‌طور که مشاهده می‌شود میزان آرماتورهای مصرفی در تمامی قاب‌ها نسبت به روش نیرویی بیشتر است. این تفاوت در مورد حجم بتن مصرفی کمتر می‌باشد. نتیجه دیگری که از مطالعه نمودارها مشاهده می‌شود روند تصاعدی مصرف بتن و آرماتور در قاب‌های با ارتفاع بیشتر می‌باشد.



شکل (۱۳): سطح مقطع آرماتورهای به کاررفته در دو روش طراحی.



شکل (۱۴): حجم بتن مصرفی در دو روش طراحی.

## ۵- نتیجه‌گیری

در این مطالعه قاب‌های خمشی بتن آرمه با ارتفاع مختلف با دو رویکرد متفاوت، طراحی بر اساس نیرو و طراحی بر اساس تغییر مکان، طراحی شده و مورد مقایسه و ارزیابی لرزه‌ای قرار گرفته‌اند. برای این منظور از تحلیل‌های تاریخچه زمانی غیرخطی با استفاده از ۱۰ شتاب‌نگاشت مصنوعی منطبق بر

مطالعه شکل‌های (۱۱) و (۱۲) نشان‌دهنده‌ی احتمال خسارت کمتر در هر پنج حالت خرابی برای سازه‌های ۵ و ۱۱ طبقه طراحی شده با روش طراحی مستقیم مبتنی بر تغییر مکان است. هنگامی که احتمال شکنندگی برای سازه ۵ طبقه طراحی شده به روش طراحی نیرویی به ۵۰ درصد می‌رسد، مقدار Sa در حالت‌های خرابی غیر سازه‌ای، سازه‌ای کم، سازه‌ای متوسط، سازه‌ای شدید و فروریزش به ترتیب مقدادیر  $g_{1/3}$ ,  $g_{1/8}$ ,  $g_{1/6}$  و  $g_{1/4}$  می‌باشد، در حالی که در سازه ۵ طبقه طراحی شده به روش طراحی مستقیم مبتنی بر تغییر مکان این مقدادیر برای سطوح خرابی ذکر شده به ترتیب برابر  $g_{1/3}$ ,  $g_{1/8}$ ,  $g_{1/6}$  و  $g_{1/4}$  می‌باشد. همچنین در سازه ۱۱ طبقه طراحی شده به روش نیرویی، مقدادیر Sa برای احتمال شکنندگی ۵۰ درصد برای حالت‌های خرابی غیر سازه‌ای، سازه‌ای کم، سازه‌ای متوسط، سازه‌ای شدید و فروریزش به ترتیب در حالی که برای سازه طراحی شده به روش طراحی مستقیم در سطوح خرابی ذکر شده Sa به ترتیب برابر  $g_{1/3}$ ,  $g_{1/8}$ ,  $g_{1/6}$  و  $g_{1/4}$  می‌باشد.

این موضوع نشان‌دهنده‌ی این است که برای تمامی حالت‌های خرابی در روش طراحی نیرویی مقدادیر شدت کمتری منجر به یک احتمال خسارت مشخص در مقایسه با روش طراحی مستقیم می‌شوند. همچنین از نتایج مشاهده می‌شود که در یک احتمال خرابی مشخص (۵۰ درصد) میزان اختلاف بین مقدادیر Sa گزارش شده در دو روش طراحی مورد بررسی برای قاب ۵ طبقه در سطوح خرابی غیر سازه‌ای، سازه‌ای کم، سازه‌ای متوسط، سازه‌ای شدید و فروریزش به ترتیب  $g_{1/4}$ ,  $g_{1/8}$ ,  $g_{1/6}$  و  $g_{1/3}$  می‌باشد. در حالی که در قاب ۱۱ طبقه این مقدادیر  $g_{1/4}$ ,  $g_{1/8}$ ,  $g_{1/6}$  و  $g_{1/3}$  در مقدادیر  $g_{1/5}$ ,  $g_{1/10}$ ,  $g_{1/15}$  و  $g_{1/20}$  می‌باشد. اختلاف بیشتر در نتایج قاب ۱۱ طبقه تأکیدی بر ضعف روش نیرویی مبتنی بر ضوابط ویرایش چهارم استاندارد ۲۸۰۰ در قاب‌های با ارتفاع بلندتر به دلیل رفتار غیرخطی بیشتر آنهاست.

## ۴-۴- تحلیل هزینه

شکل‌های (۱۳) و (۱۴) به ترتیب نشان‌دهنده میزان سطح

نیرویی از سطح ایمنی جانی گذر کرده‌اند.

۵. مقادیر قاب ۵ طبقه طراحی شده به روش نیرویی در تمامی حالت‌های خرابی برای هنگامی که احتمال شکنندگی به ۵۰ درصد برسد، بین حدود ۱۵/۷۸ تا ۲۵ درصد نسبت به قاب ۵ طبقه طراحی شده به روش طراحی مستقیم، کمتر می‌باشند. همچنین مقادیر قاب ۱۱ طبقه طراحی شده به روش نیرویی در تمامی حالت‌های خرابی برای هنگامی که احتمال شکنندگی به ۵۰ درصد برسد، بین حدود ۳۱/۲۵ تا ۴۲/۳ درصد نسبت به قاب ۵ طبقه طراحی شده به روش طراحی مستقیم، کمتر می‌باشند. به طور کلی مطالعه منحنی‌های شکست نشان‌دهنده احتمال خسارت کمتر در قاب‌های طراحی شده به روش طراحی مستقیم مبتنی بر تغییر مکان می‌باشد.

۶. میزان اختلاف شاخص شدت در دو روش طراحی مورد بررسی، برای یک احتمال خرابی مشخص (۵۰ درصد) در قاب ۱۱ طبقه تا ۴۰ درصد بیشتر از قاب ۵ طبقه می‌باشد. این میزان اختلاف تأییدی بر ضعف روش‌های نیرویی در قاب‌های با ارتفاع بالاتر می‌باشد.

۷. تحلیل هزینه نشان‌دهنده افزایش آرماتور مصرفی بین ۶/۶ تا ۱۱/۵۲ درصد و افزایش بتن مصرفی تا ۳/۴ درصد در روش طراحی مستقیم نسبت به روش نیرویی می‌باشد. همچنین اختلاف بین میزان مصالح مصرفی در سازه‌های با ارتفاع بلندتر، بیشتر مشاهده شد.

## مراجع

- Priestley, M.N., Calvi, G.M., and Kowalsky, M.J. (2007) *Displacement-Based Seismic Design of Structures*. IUSS press, Pavia, Italy.
- Sullivan, T. (2002) *The Current Limitations of Displacement Based Design*. A dissertation submitted in partial fulfillment of the requirement for the master degree in earthquake engineering, Rose school.
- Shibata, A. and Sozen, M.A. (1976) Substitute-structure method for seismic design in R/C. *Journal of the Structural Division*. 102(ASCE# 11824).

طیف طرح ویرایش چهارم استاندارد ۲۸۰۰ استفاده گردید و پاسخ‌های تغییر مکانی سازه‌ها مورد مقایسه قرار گرفت. سپس به منظور بیان کمی آسیب قاب‌ها، قاب‌های طراحی شده به روش تحلیل دینامیکی افزاینده تحلیل شدند و منحنی‌های شکنندگی با استفاده از روش‌های تحلیلی تولید شدند. در نهایت آسیب‌پذیری مدل‌های طراحی شده در پنج حالت خرابی غیر سازه‌ای، سازه‌ای کم، سازه‌ای متوسط، سازه‌ای شدید و فروریزش مورد بررسی قرار گرفت. نتایج حاصل از تحلیل‌ها در موارد زیر خلاصه می‌شوند:

۱. میانگین درصد تغییرات پروفیل تغییر مکان تحلیلی در مقایسه با پروفیل تغییر مکان طراحی مستقیم مبتنی بر تغییر مکان در هیچ کدام از قاب‌ها از میزان ۱۰ درصد فراتر نرفته است. این موضوع نشان‌دهنده انتباط قابل قبول بین نتایج حاصل از تحلیل‌ها و تغییر مکان هدف طراح می‌باشد.

۲. شاخص پراکندگی (دامنه تغییرات) تغییر مکان جانبی نسبی در روش طراحی مستقیم برای قاب‌های ۳/۵ و ۱۱ طبقه به ترتیب مقادیر ۰/۳۵، ۰/۴۸، ۰/۴۹ و ۰/۳۵ درصد و در قاب‌های ۱/۴، ۰/۴۹ و ۰/۴۹ درصد گزارش شده است. این موضوع نشان‌دهنده‌ی پراکندگی کمتر به جز در یک مورد (قاب ۷ طبقه) در پاسخ قاب‌های طراحی شده به روش طراحی مستقیم نسبت به روش نیرویی می‌باشد.

۳. متوسط بیشینه تغییر مکان نسبی طبقات در روش تغییر مکانی در هیچ کدام از قاب‌های مورد مطالعه از حد مجاز ۲/۵ درصد برای قاب‌های ۳ و ۵ طبقه و از حد مجاز ۲ درصد برای قاب‌های ۷ و ۱۱ طبقه فراتر نرفته است. این در حالی است که قاب‌های طراحی شده بر اساس ویرایش چهارم استاندارد ۲۸۰۰ توانایی کنترل این پارامتر را در قاب‌های مورد مطالعه ندارند.

۴. متوسط میزان دوران مفاصل پلاستیک در قاب‌های طراحی شده به روش طراحی مستقیم در هیچ کدام از مفاصل از دوران سطح عملکرد انتخابی فراتر نرفته است در حالی که بین حدود ۱۶/۶ تا ۲۲ درصد از مفاصل سازه‌های طراحی شده به روش

- A model code for the displacement-based seismic design of structures. DBD12 draft subject to public enquiry. IUSS press, Pavia.
15. Priestley, M.J.N. and Kowalsky, M.J. (2000) Direct displacement-based seismic design of concrete buildings. *Bulletin of the New Zealand National Society for Earthquake Engineering*, NZSEE, **33**(4), 421-444.
16. Izadi, Z.E. and Moghadam, A. (2015) Two important issues relevant to torsional response of asymmetric 8-story RC building designed with direct displacement based design approach. *International Journal of Engineering-Transactions*, **28**(9), 1257-1267.
17. Montejo, L.A. and Kowalsky M.J. (2007) *Cumbia-set of Codes for the Analysis of Reinforced Concrete Members*. Report No is-07-01, Constructed facilities laboratory, North carolina state university, Raleigh.
18. Bracci, J.M., Reinhorn, A.M., and Mander, J.B. (1995) Seismic resistance of reinforced concrete frame structures designed for gravity loads performance of structural system. *ACI Structural Journal*, **92**(5), 597-610.
19. Koyluoglu, H.U. Nielsen, S.R.K., Çakmak, A.Ş., and Kirkegaard, P.H. (1997) Prediction of global and localized damage and future reliability for RC structures subject to earthquake. *Earthquake Engineering and Structural Dynamics*, **26**(4), 463-475.
20. Mikami, T. and Lemura, H. (2000) Demand spectra of yield strength and ductility factor to satisfy the required seismic performance objectives. *Proceeding of JSCE*, No.689, 333-342.
21. Estekanchi, H.E., Arjomandi, K., and Vafai, A. (2007) Estimating structural damage of steel moment frames by endurance time method. *Journal of Constructional Steel Research*, **64**(2), 145-155.
22. Park, Y.J., Reinhorn, A.M., and Kunzath, S.K. (1987) IDARC: Inelastic damage analysis of reinforced concrete frame-shear-wall structures.
23. Bahar, O. and Taherpour, A. (2008) Nonlinear dynamic behavior of RC buildings against accelerograms with partial compatible spectrum.
4. Chopra, A.K. and Goel, R.K. (1999) Capacity-demand-diagram methods for estimating seismic deformation of inelastic structures: SDF systems. *Civil and Environmental Engineering*, 531.
5. Judi, H.J., Fenwick, R.C., and Davidson, B.J. (2001) Direct displacement based design-a definition of damping. *Proceeding of NZSEE Conference*.
6. Pettinga, J.D. and Priestley, M.J.N. (2005) *Dynamic Behavior of Reinforced Concrete Frames Designed with Direct Displacement-Based Design*. Research report No. rose-2005/02, Rose school.
7. Beyer, K. (2005) *Design and Analysis of Walls Coupled by Floor Diaphragms*. A dissertation submitted in partial fulfillment of the requirement for the master degree in earthquake engineering, Rose school.
8. Sullivan, T., Priestley, M.J.N., and Calvi, G. (2006) Direct displacement-based design of frame-wall structures. *Journal of Earthquake Engineering*, **10**, 91-124.
9. Massena, B., Degee, H., and Bento, R. (2010) Consequences of design choices in direct displacement based design of RC frames. *Proceeding of 14<sup>th</sup> European Conference on Earthquake Engineering and Seismology (14ECEE)*, Ohrid, Macedonia.
10. Nievas, C.I. and Sullivan, T.J. (2014) Developing the direct displacement-based design method for RC strong frame-weak wall structures. *Second European Conference on Earthquake Engineering and Seismology*, Istanbul.
11. Ravinder, M. and Singh, A. (2016) Performance study on a pier designed using force based and direct displacement methods. *International Journal of Engineering Science*, 2024.
12. Calvi, G.M. and Sullivan, T. (2009) *Development of a model code for direct displacement based seismic design*. The state of earthquake engineering research in Italy. The RELUIS-DPC 2005-2008 project.
13. Calvi, G.M. and Sullivan, T.J. (2009) *A model code for the displacement-based seismic design of structures*. DBD09 draft subject to public enquiry. IUSS press, Pavia.
14. Sullivan, T., Priestley, M.J.N., and Calvi, G. (2012)

*14<sup>th</sup> World Conference on Earthquake Engineering and Seismology (14WCCEE), Beijing, China.*

24. Pekelnicky, R. and Poland, C. (2017) ASCE 41-17: *Seismic evaluation and retrofit of existing buildings.* In SESOC 2017 convention.
25. Barron-Corvera, R. (2001) *Spectral Evaluation of Seismic Fragility of Structures.*
26. Nielson, B.G. (2005) *Analytical fragility curves for highway bridges in moderate seismic zones.* Diss. Georgia Institute of Technology.
27. Cornell, C.A. (2002) Normalization and sealing accelerograms for nonlinear structural analysis. *Proceedings of the 6<sup>th</sup> U.S. National Conference in Earthquake Engineering*, Paper No. 243.
28. Vamvatsikos, D. and Cornell, C.A. (2002) Incremental dynamic analysis. *Earthquake Engineering and Structural Dynamics*, **31**(3), 491–514.
29. Lilliefors, H.W. (1967) On the kolmogorov-smirnov test for normality with mean and variance unknown. *Journal of the American Statistical Association*, **62**(318), 399-402.
30. Anderson, T.W. and Darling, D.A. (1954) A test of goodness of fit. *Journal of the American Statistical Association*, **49**(268), 765-769.
31. Test, Chit-Square. Chi-Square Test. EEC 686: 785.

### واژه‌نامه

1- طراحی مستقیم مبتنی بر تغییر مکان	Direct Displacement Based Design (DDBD)
2- ریلوئیس	Reluis
3- کامبیا	Set of Codes for The Analysis of Reinforced Concrete Members (CUMBIA)
4- تحلیل دینامیکی افزاینده	Incremental Dynamic Analysis (IDA)
5- هانت فیل	Hunt and Fill
6- المان فایبر	Fiber Element

## Comprehensive Assessment of Damage Indices of RC Frames in Conventional and Novel Seismic Design Approaches

Zohreh Jabari Salmi<sup>1</sup> and Esmaeel Izadi Zamanabadi<sup>2\*</sup>

1. M.Sc. in Earthquake Engineering, Daneshpajoohan Pishro Institute of Higher Education, Isfahan, Iran
2. Assistant Professor, Faculty of Civil Engineering, Najafabad Branch, Islamic Azad University, Najafabad, Iran,

\*Corresponding Author, email: e.izadi@pci.iaun.ac.ir

Experience of the past earthquakes reveals that conventional force based design (FBD) approach, only provide minimum requirement for life safety performance level of structures. While these methods do not capable to control structural seismic damages. In recent years, displacement based design approaches have been proposed as the main tools of performance based design. Direct displacement based design (DDBD) is recognized as one of the most efficient methods. In this method, an inelastic multi degree of freedom structure is substituted with an equivalent elastic single degree of freedom. The substitute structure is designed for a target displacement and an equivalent viscous damping using elastic displacement response spectrum. The effectiveness of this method has been examined in controlling the overall seismic demands of many structural systems, while the least attention has been paid to the effects of local damages.

In this study, seismic performance of a set of RC frames designed with DDBD and FBD approach (based on Iranian seismic code) has been investigated and compared with a focus on local damages. DDBD and FBD method was applied to four reinforced concrete regular frames of 3, 5, 7 and 11 story and performance of the methods was compared using inelastic time history analysis (ITHA). In the seismic assessment process, in addition to general structural responses, the distribution of local damages has also been investigated. The Park–Ang damage index was selected as the seismic damage index and probability of exceedance of the damage limit state was compared using fragility curves developed for five damage levels.

Results show that very good control of displacement and inter-story drift of RC frames designed with DDBD approach. Evaluation of the plastic hinge rotation shows, DDBD unlike FBD approach has been satisfied expected performance level. Furthermore DDBD approach provided more control on selected seismic damage index and distribution of damage index at height of structures is more uniform than FBD approach. The cost analysis shows that consumable rebar is increased 6.6%-52.11% and consumable concrete is up to 3.4% in DDBD approach compared with FBD approach, which is more exponential in frames with higher elevations.

**Keywords:** Direct Displacement Based Design, Seismic Damage Index, Local Damage, Fragility Curve, DBD12 Model Code.